

8. Weiss H. Holography in Radiology // Ibid.— P. 83.
9. Tsujuchi J. Holographic stereograms as a tool on nondestructive testing // SPIE Proc.— 1983.— 370.— P. 17.
10. Podbielska H., Kasprzak H. Biomechanical investigation of external fixing devices by using the method of holographic interferometry // XI Intern. Congress of Biomechanics: Abstracts, 1987.— P. 27.
11. Kasprzak H., Podbielska H. Bending and torsion of the tibial bone examined by holographic interferometry // Polish Conference of Biomechanics: Abstracts, 1987.— P. 29.
12. Kasprzak H. e. a. Mechanical features of the human thigh bone investigated by means of holographic interferometry // Acta Polytechnica Scandinavica: Proc. Image Science 85', 1985.— V. 2.
13. Podbielska H. e. a. Mechanical reaction of human skull bones to external load examined by holographic interferometry // SPIE Proc.— 1987.— 673.— P. 273.
14. Dvitoff I. Holographic measurement of deformation in complete upper dentures— clinical application // Optics in Biomedical Sciences.— Berlin — New York: Springer Verlag, 1982.— P. 100.
15. Pavlin D. e. a. Mechanical reactions of facial skeleton to maxillary expansion determined by laser holography // Ann. J. of Orthodontics 85'.— 1984.— P. 488.

Поступило в редакцию 23 мая 1988 г.

УДК 621.373.826

А. А. ЖМУДЬ  
(Новосибирск)

## ПЕРЕСТРОЕЧНЫЕ ХАРАКТЕРИСТИКИ ИНЖЕКЦИОННЫХ ЛАЗЕРОВ

Важной особенностью инжекционных лазеров с точки зрения применения в спектроскопии является возможность изменять их спектр излучения при помощи сравнительно простых методов. В частности, посредством изменения тока накачки или температуры лазера можно менять в широком диапазоне его длину волны, модовый состав и даже ширину линии [1—3]. Однако наличие большого количества типов лазеров, имеющих различные пороговые токи и типы резонаторов, а соответственно и разные спектральные характеристики, зачастую ставит перед исследователем сложную задачу правильного выбора лазера и режима его работы.

В данной работе приведены обобщенные перестроечные характеристики полупроводниковых инжекционных лазеров, полученные в результате экспериментальных исследований промышленных образцов серий ИЛПН-102, ИЛПН-205, ИЛПН-210 и НЛР-1600. Исследовались лазеры с длинами волн  $\lambda \sim 0,78\text{--}0,87$  мкм и пороговыми токами  $J_p \sim 20\text{--}200$  мА при комнатной температуре. Приборы помещались в терmostат, где их температура могла изменяться в диапазоне  $0\text{--}+30^\circ\text{C}$ , а выбранное значение температуры поддерживалось с точностью  $\sim 1\cdot 10^{-3}$  К. Флуктуации установленного тока накачки не превышали величины  $\Delta J/J \leqslant 1\cdot 10^{-4}$  [4]. Исследования спектральных характеристик проводились при помощи разработанного специально для этих целей малогабаритного панорамного спектрометра с разрешением 0,015 нм и многолучевыми интерферометрами Физо с базой 0,1—80 мм и остротой  $\sim 20$ .

По типу резонатора исследуемые лазеры разделялись на две группы: лазеры с полосковым и канальным волноводами (размер тела свечения не более  $1\times 3,5$  мкм). Исследования показали, что при расстоянии между продольными модами  $\Delta\lambda_q > 0,4\text{--}0,5$  нм ( $q$  — индекс продольной моды) область рабочих точек лазеров с канальным волноводом состоит из зон трех типов: многочастотных, двухчастотных и одночастотных (интенсивность побочных мод менее 1 %) режимов. Зона многочастотных режимов имеет место при небольшом превышении током накачки  $J$  порогового тока:  $J_p < J \leqslant 1,1J_p$ . При этом лазер излучает три и более длины волны, соответствующие различным индексам  $q$  и обладающие низкой степенью когерентности (ширины линий  $\Delta\nu > 10$  ГГц). При больших токах накачки лазер может работать либо в одночастотном, либо в двухчастотном режиме (рис. 1). Границей зон со стороны больших токов является линия токов, выше которых наблюдается катастрофическая деградация лазеров. Из рис. 1 видно, что, меняя температуру лазера или ток накачки, можно изменять длину волны излучения непрерывно на величину  $\Delta\lambda \leqslant \Delta\lambda_{q/2}$  либо дискретно по модам резонатора. Изменение длины волны в одночастотном режиме в первом приближении может быть описано соотношением [1, 3]

$$\Delta\lambda = \beta_J(J_p, T)dJ + \beta_T(T, J)dT, \quad (1)$$

где  $\beta_J(J_p, T)$  и  $\beta_T(T, J)$  — коэффициенты, характеризующие зависимость изменения длины волны лазера от изменения тока накачки  $dJ$  и температуры  $dT$  соответственно. У исследуемых лазеров с канальным волноводом  $\beta_T \sim 0,015\text{--}0,06$  пм/К,

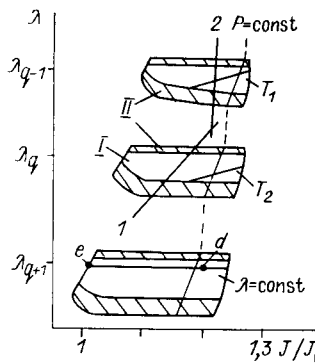


Рис. 1. Зоны рабочих режимов инжекционных лазеров:  
 I — зоны одночастотных и II — двухчастотных режимов лазеров с полосковым волноводом;  $T_1$  и  $T_2$  — линии постоянной температуры ( $T_1 = T_2 \sim 2^\circ\text{C}$ ); 1 и 2 — соответственно линии постоянной температуры и тока лазеров с полосковым волноводом в одночастотном режиме, причем эти линии соответствуют разным индексам  $q$ ;  $J_{II}$  — пороговый ток при  $T = T_1$ ;  $\lambda$  — длина волны;  $P$  — мощность

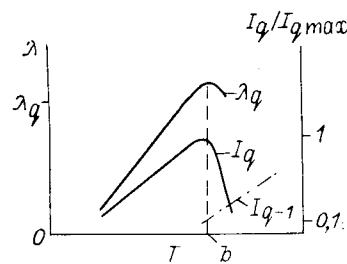
а  $\beta_J \sim (4-8) \cdot 10^{-3}$  нм/мА [4], причем у лазеров с меньшими пороговыми токами коэффициент  $\beta_J$  больше. В пределах одной зоны одночастотных режимов  $\beta_J = \text{const}$ . Характерный вид кривой зависимости изменения длины волны от температуры при постоянном токе накачки показан на рис. 2. Перегиб кривой в точке  $b$  связан с появлением в этой точке второй моды, соответствующей меньшему индексу  $q$ . Интенсивность второй моды вблизи данной точки относительно невелика (не более 10 % интенсивности основной моды), и лазер можно считать однопочастотным (ширина линии основной моды  $\sim 150-200$  МГц), а зависимость длины волны от температуры значительно меньше, чем в центре зоны одночастотных режимов.

При изменении рабочих условий вдоль прямой  $\lambda = \text{const}$  ширина линии генерации изменяется от величины  $\Delta\nu \gg 1$  ГГц в точке  $e$  до  $\Delta\nu \leq 50$  МГц в точке  $d$  (см. рис. 1).

Отличие спектральных характеристик лазеров с полосковым волноводом (ширина полоска до 20 мкм) от спектральных характеристик лазеров с канальным волноводом связано с возможностью изменения положения тела свечения внутри полоска при изменении тока накачки или температуры лазера. В результате происходит своего рода «затягивание частоты моды резонатора» или автоподстройка длины волны моды  $\lambda_q$  к центральной длине волны контура усиления лазера. Данный эффект приводит к увеличению (по шкале длин волн) ширины зон одночастотных режимов и даже к их перекрытию (линии 1 и 2 на рис. 1), а также к увеличению коэффициентов  $\beta_J$  и  $\beta_T$ . В результате появляется новая зона рабочих режимов — зона «мультистабильности» [2]. В данной зоне в зависимости от способа выхода в рабочую точку лазер может быть одночастотным либо двухчастотным. Причем в однопочастотном режиме в зоне мультистабильности лазер способен работать на одной из двух или даже трех возможных частот разных индексов продольных мод. Однопочастотный режим в зоне мультистабильности наблюдается, как правило, при медленном выводе лазера в данную зону:  $d\lambda/dt \leq 0,1$  нм/с,  $t$  — время.

Проведенные исследования показали, что существенным достоинством лазеров с полосковым волноводом с точки зрения применения их в спектроскопии является возможность настройки на любую длину волны во всем диапазоне перестройки. Результаты данной работы могут быть использованы для выбора типа лазера и его рабочей точки при решении конкретных задач, стоящих перед исследователями, применяющими инжекционные лазеры.

Рис. 2. Зависимости изменений длины волны и интенсивности моды от температуры лазера:  
 $\lambda$  — длина волны;  $I_q$  — интенсивность моды;  $T$  — температура



## ЛИТЕРАТУРА

1. Елисеев П. Г. Введение в физику инжекционных лазеров.— М.: Наука, 1983.
2. Hori H., Endo K., Kono E., Sakurai T. Mode-transition characteristics and tunability of an AlGaAs laser // J. Appl. Phys.— 1986.— 60, N 7.— P. 2231.
3. Comparo J. C. Single-mode diode laser as a source of variable bandwidth, fixed center frequency optical fields // Rev. Scientific Instrum.— 1986.— 57, N 3.— P. 370.
4. Бобрик В. И., Жмудь А. А. Стабилизация длины волны излучения инжекционных лазеров без использования внешних оптических устройств // Квантовая электрон.— 1987.— 14, № 2.

Поступило в редакцию 17 февраля 1988 г.